

ИРКУТСКИЙ  
ГОСУДАРСТВЕННЫЙ  
УНИВЕРСИТЕТ

# Определение глубины максимума по длительности импульса для установки TAIGA-HiSCORE

Сессия-конференция секции ядерной физики ОФН РАН,  
посвященная 70-летию В.А. Рубакова

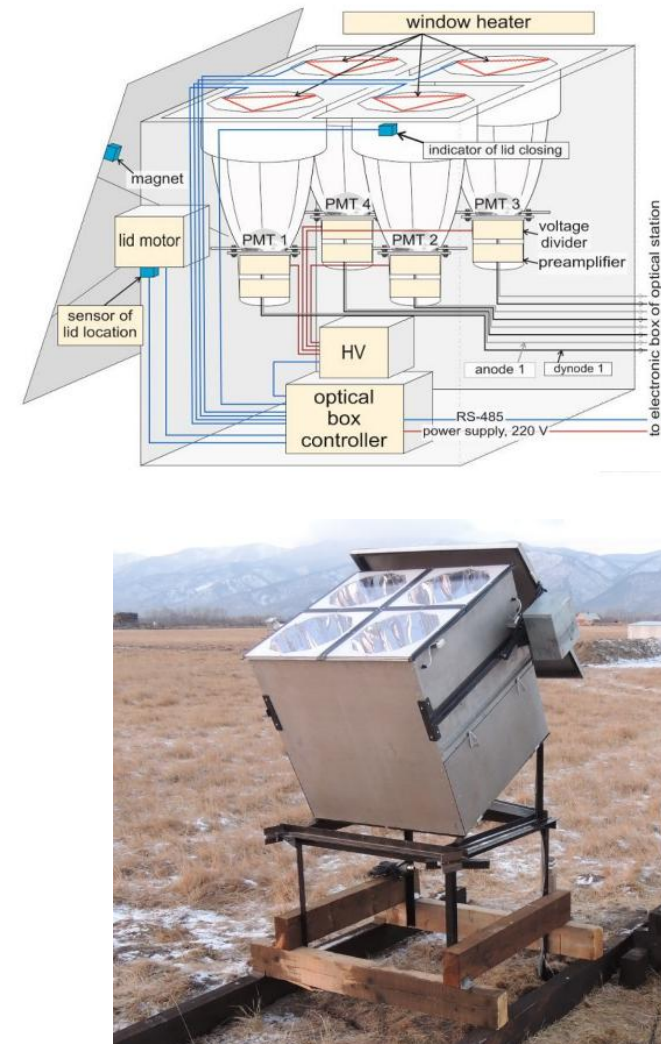
**Марк Терновой<sup>1</sup>, В.В. Просин<sup>2</sup>, Э.А. Осипова<sup>2</sup>**

<sup>1</sup>Научно-исследовательский институт прикладной физики ИГУ

<sup>2</sup>Научно-исследовательский институт ядерной физики имени  
Д. В. Скobel'tsyina Московского государственного  
университета имени М. В. Ломоносова

# Станция TAIGA-HiSCORE

- Станция TAIGA-HiSCORE состоит из нескольких ключевых компонентов, обеспечивающих её функциональность:
  - **Оптические модули:** Каждая станция оснащена четырьмя ФЭУ диаметром 20 и 25 см, расположенными рядом друг с другом и оснащёнными световодами в форме конуса Винстона. Эти световоды увеличивают эффективную площадь сбора света в четыре раза, что повышает чувствительность детектора;
  - **Электронная система:** Выходные сигналы от ФЭУ суммируются и оцифровываются с помощью системы записи формы импульсов. Время точности измерений составляет менее одной наносекунды, что позволяет точно фиксировать моменты прихода фотонов;
  - **Синхронизация:** Высокая точность синхронизации между станциями позволяет точно определять время прихода фотонов, что критически важно для восстановления параметров широких атмосферных ливней;
  - **Расположение:** Станции размещены на расстоянии 150–200 метров друг от друга, покрывая площадь около 1 км<sup>2</sup>.



# Способы измерения глубины максимума ШАЛ

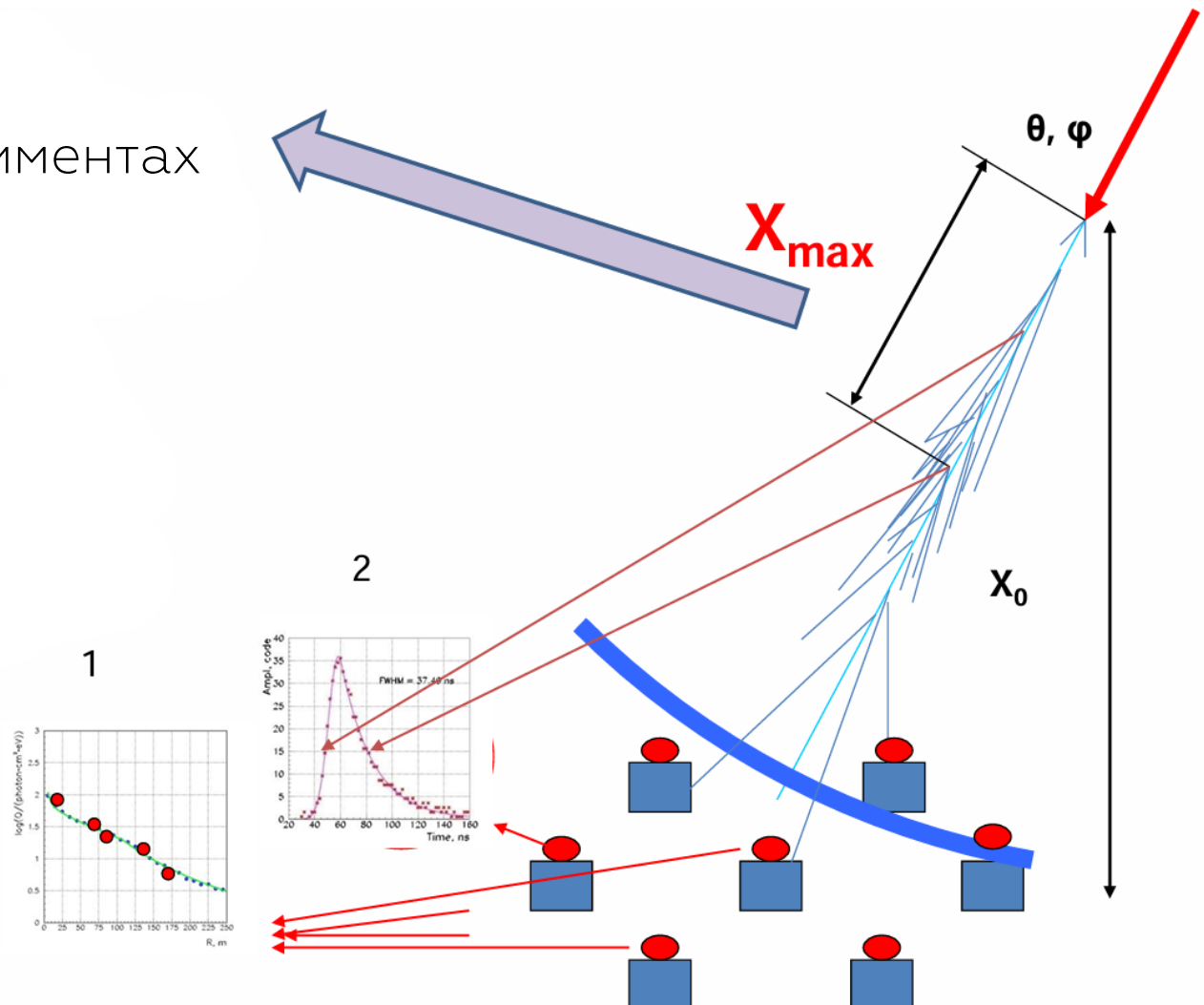
- $10^{18} - 10^{20}$  эВ

Прямое наблюдение  $X_{\max}$  через ионизационный свет, как в экспериментах Pierre Auger и Telescope Array.

- $10^{15} - 10^{18}$  эВ

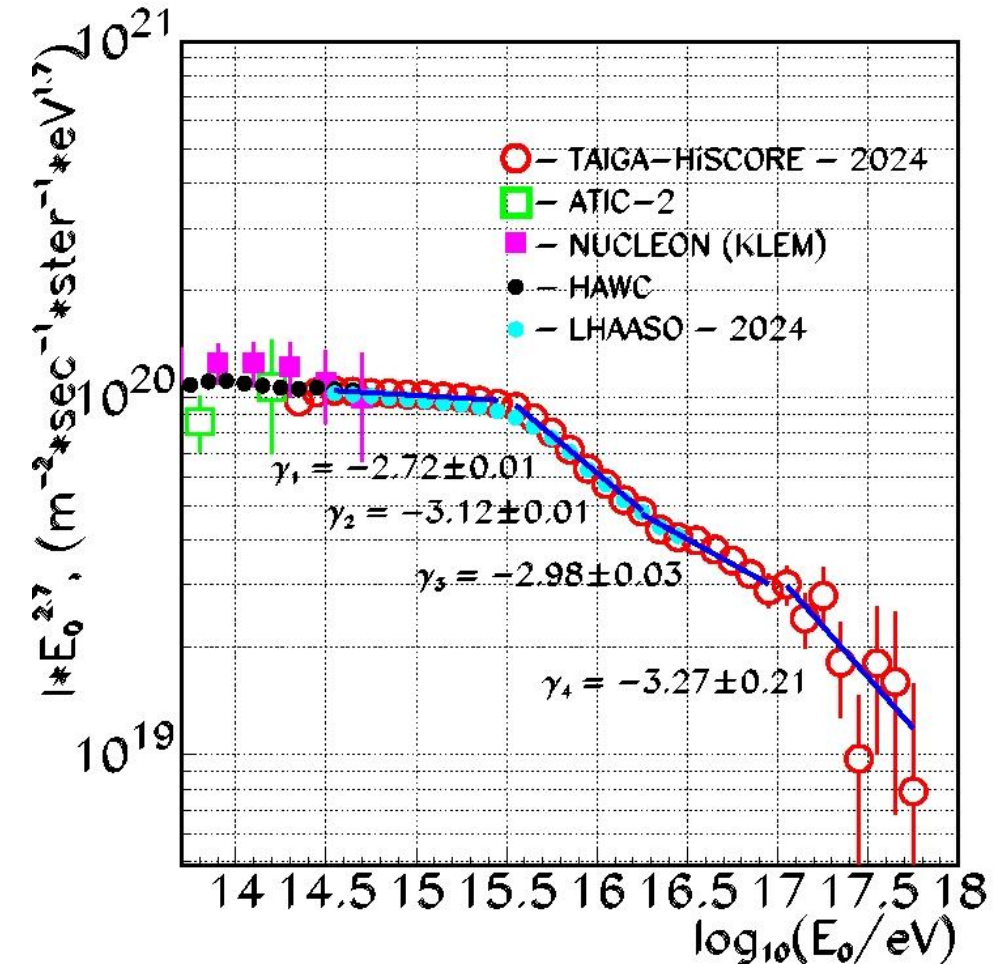
Два метода оценки  $X_{\max}$ :

- Наклон функции распределения света (ФПР),  $Q(R)$ ;
- Длительность импульса,  $\tau_R$ .



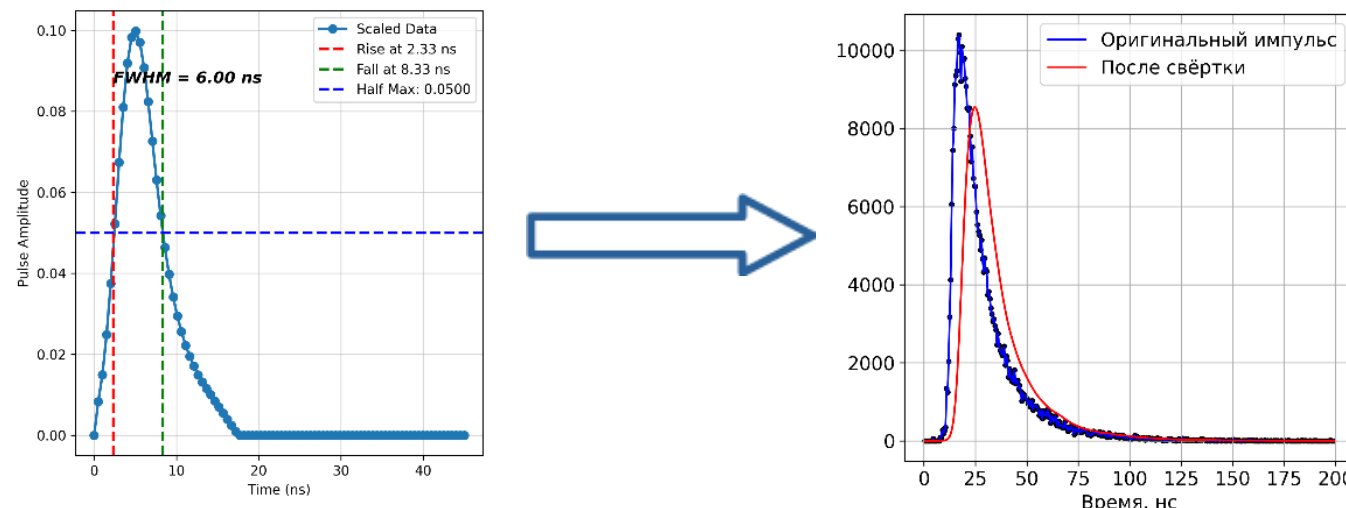
# Способы измерения глубины максимума ШАЛ

- Анализ данных TAIGA-HiSCORE (2022-2024) показывает, что метод оценки  $X_{max}$  через параметр Р (отношение потоков света на разных расстояниях от оси ливня) **неэффективен при энергиях выше  $3 \cdot 10^{16}$  эВ (30 ПэВ) из-за насыщения аппаратуры;**
- **Новый подход** – использование длительности импульсов черенковского света на некотором большом расстоянии от оси ливня через динодный канал станций HiSCORE.
  - Крутизна:  $P = Q(80)/Q(200)$
  - Относительное положение максимума:  
 $\Delta X_{max} = 929 - 103 \times P, \quad P < 3.9$   
 $\Delta X_{max} = 882 - 91 \times P, \quad P > 3.9$   
(относительно установки наблюдения)



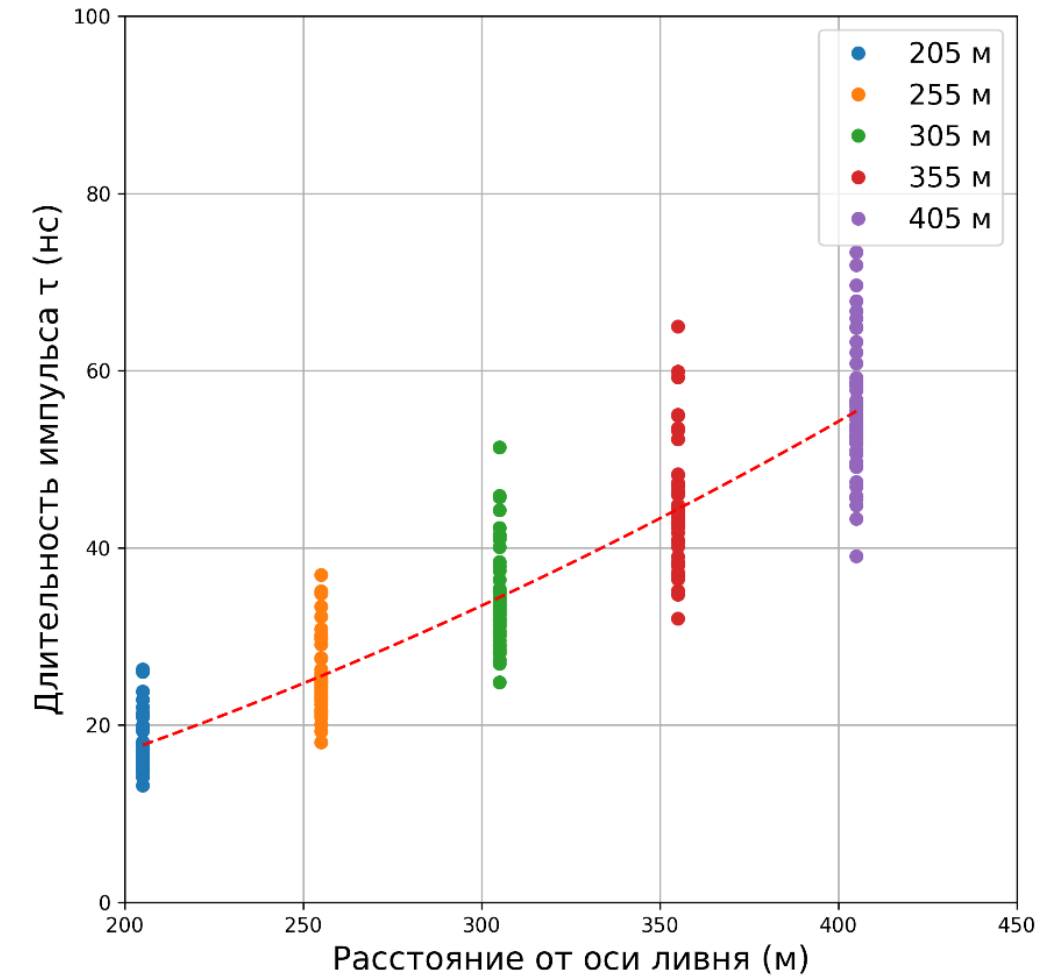
# Методика измерения длительности импульса на HiSCORE

- Для оценки длительности импульса в эксперименте используются сигналы, полученные с динодных каналов ФЭУ. Общий алгоритм обработки данных включает несколько этапов:
  - Сигналы от четырёх ФЭУ на одной станции суммируются для получения результирующего импульса;
  - Сигналы сдвигаются во времени на 0.5 наносекунды для повышения точности измерений;
  - После суммирования полученные импульсы свёртываются с аппаратурной функцией станции;
  - Аппаратурная функция характеризуется длительностью 6 наносекунд для динодных каналов и 9 наносекунд для анодных каналов;
  - Для учета влияния аппаратуры импульсы из симуляций (CORSIKA) свёртываются с этими характеристиками, чтобы воспроизвести их поведение в реальном эксперименте.



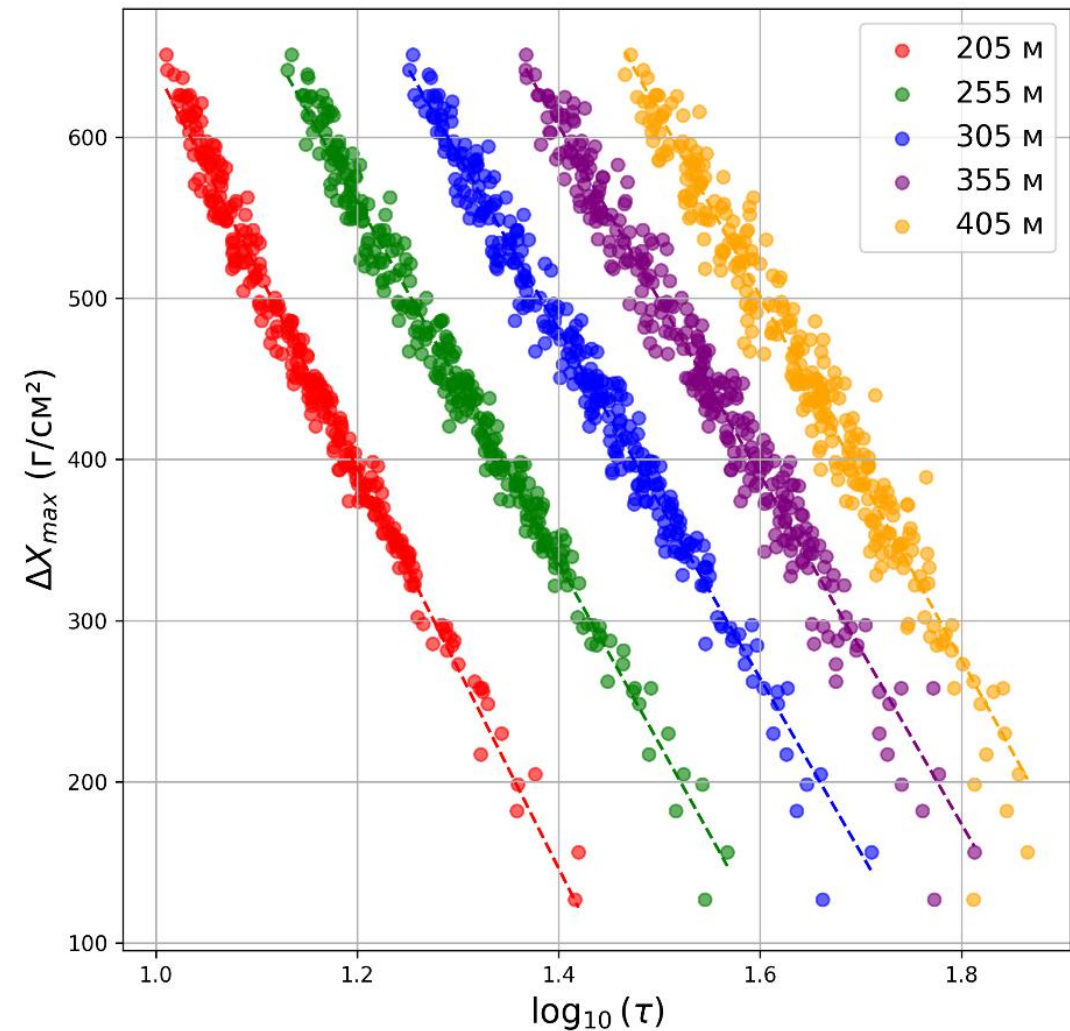
# Анализ зависимости от расстояния от оси ливня

- По данным симуляций, длительность импульса увеличивается с ростом расстояния.
- Для анализа возможности определить глубины максимума ливня по длительности ливня были проведены симуляции со следующими параметрами:
  - CORSIKA+QGSJetII-04;
  - Первичная энергия: 10 ПэВ;
  - Углы: 0, 30°;
  - Первичные частицы: протон, гелий, железо.
- Далее: относительно распределений точек  $X_{\max}$  vs  $\log(\tau)$ , сгруппированных по расстояниям от оси ливня, строились линейные фиты, по которым можно выбрать оптимальный диапазон расстояний, в котором разброс точек минимален.



# Определение глубины максимума ливня

- **Динодный канал:**
  - 205 м:  $\Delta X_{max} = -1240.9 \cdot \log \tau + 1883.5$ ,  
 $\sigma = \pm 12.90 \text{ г/см}^2$ ,  $R^2 = 0.985$
  - 255 м:  $\Delta X_{max} = -1122.4 \cdot \log \tau + 1907.0$ ,  
 $\sigma = \pm 13.73 \text{ г/см}^2$ ,  $R^2 = 0.983$
  - 305 м:  $\Delta X_{max} = -1082.7 \cdot \log \tau + 1996.5$ ,  
 $\sigma = \pm 15.28 \text{ г/см}^2$ ,  $R^2 = 0.978$
  - 355 м:  $\Delta X_{max} = -1083.5 \cdot \log \tau + 2123.9$ ,  
 $\sigma = \pm 18.64 \text{ г/см}^2$ ,  $R^2 = 0.968$
  - 405 м:  $\Delta X_{max} = -1129.3 \cdot \log \tau + 2308.2$ ,  
 $\sigma = \pm 21.54 \text{ г/см}^2$ ,  $R^2 = 0.957$



# Текущий статус и дальнейшие планы

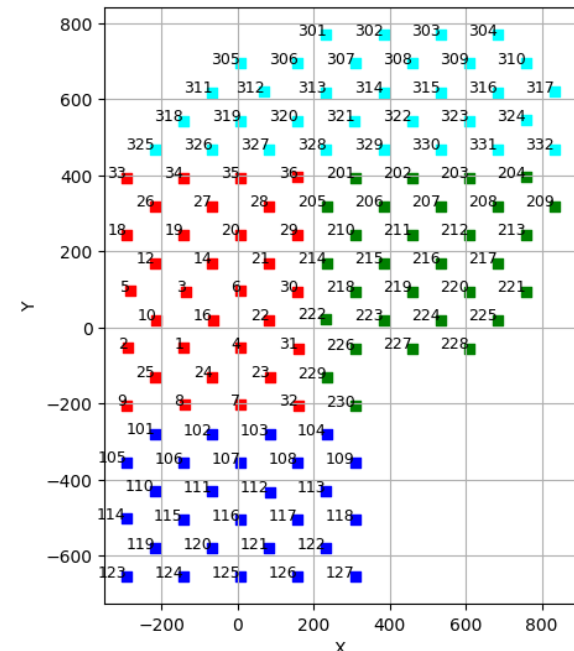
---

- **Выбор оптимального расстояния:** анализ показал, что диапазон 250–300 метров является наиболее стабильным для измерений длительности импульса.
- **Корреляция длительности импульса с глубиной максимума:** подтверждена связь между глубиной максимума и длительностью импульса, что делает метод перспективным для определения характеристик ливня.
- **Оценка точности:** погрешность восстановления глубины максимума составляет 12–20 г/см<sup>2</sup>, что является хорошим результатом для данного типа экспериментов.
- Ведется детальное изучение  $\tau$ -метода:
  - В настоящее время осуществляется дополнительное моделирование атмосферных ливней с использованием CORSIKA, включая процесс черенковского излучения, в том числе для энергий 30 и 100 ПэВ;
  - Метод будет использован для работы с реальными данными.

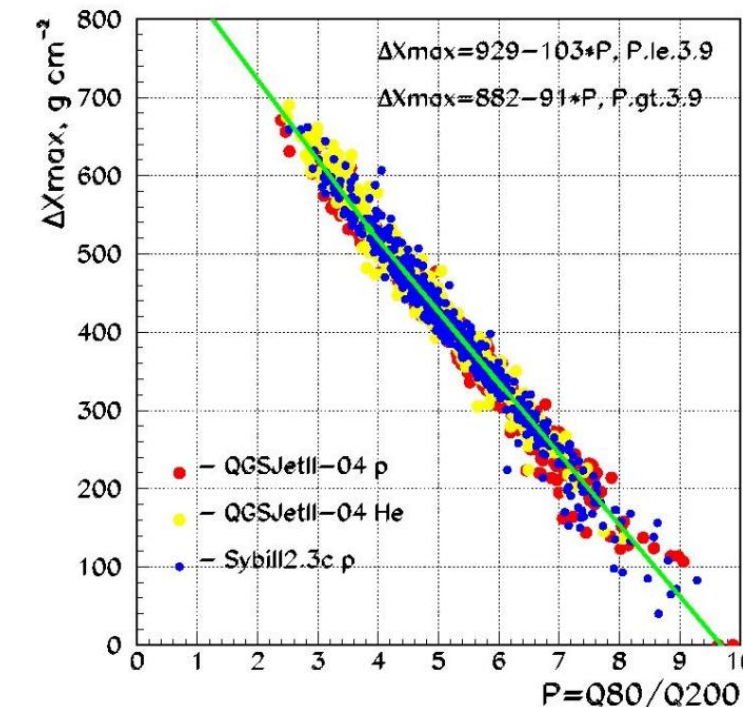
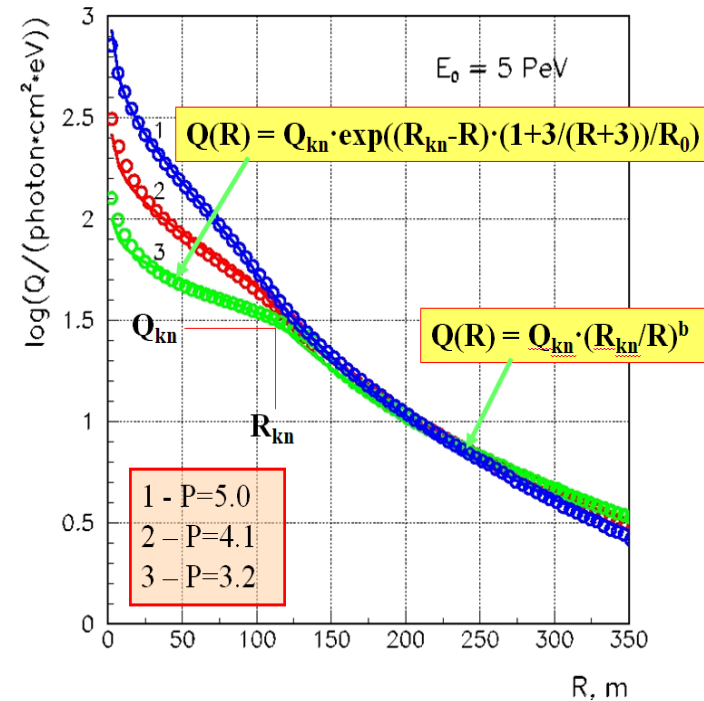
# **BACKUP**

# Текущее состояние установки TAIGA-HiSCORE

- Площадь установки до 1 км<sup>2</sup> с 114 станциями при зенитной (сезон 2022-2023, осень 2024 года) или наклонной ориентации;
- Каждая станция оснащена набором из четырех больших фотоумножителя (ФМТ);
- Энергия воздушного потока определена по потоку черенковского света на расстоянии 200 м от оси для энергий >1 ПэВ и 100 м для более низких энергий;



# Корреляция относительного положения X<sub>max</sub> и крутизны ФПР

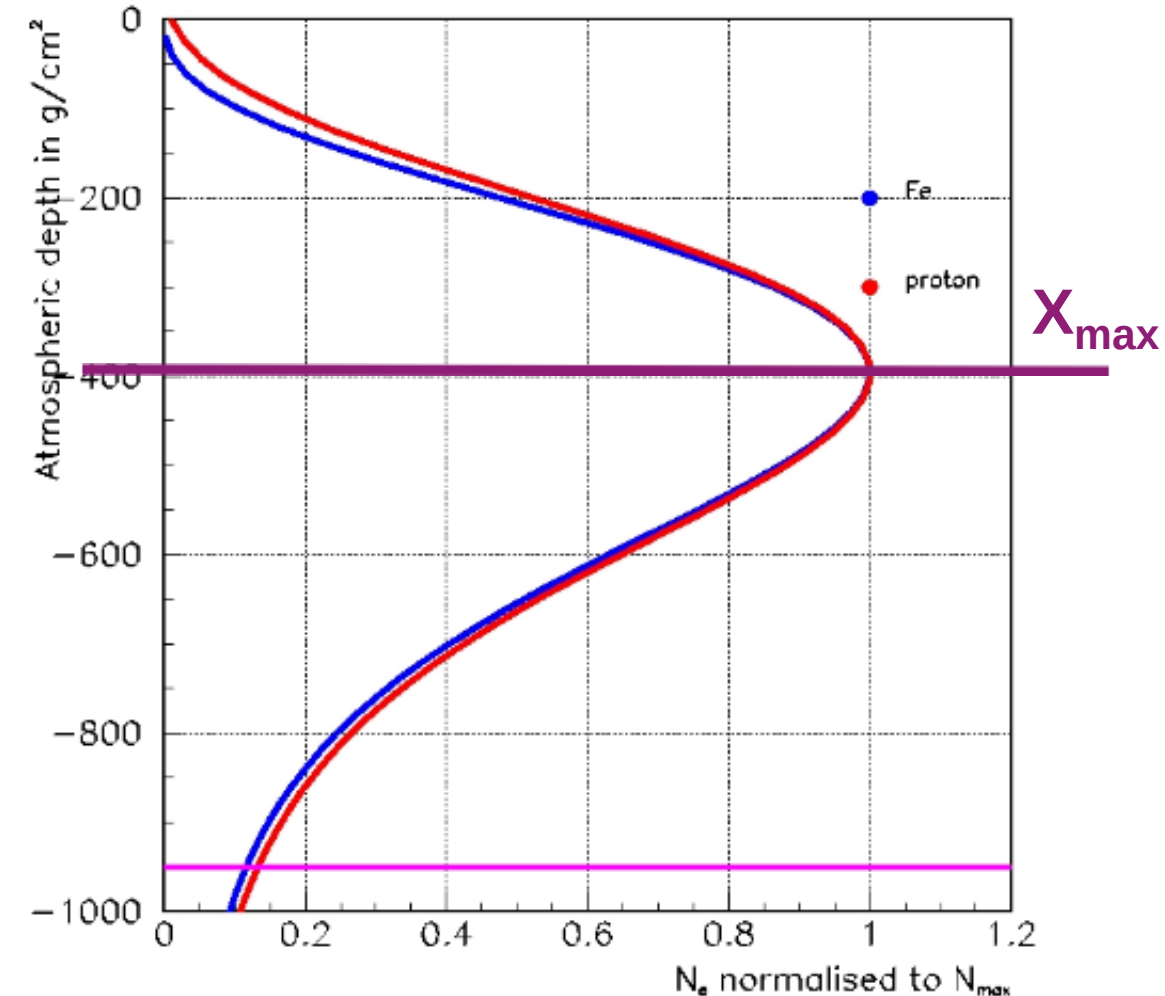


- Крутизна:  $P = Q(80)/Q(200)$   
(параметр, введенный в 2021 году)
- Относительное положение максимума:  
 $\Delta X_{\max} = X_0/\cos\theta - X_{\max}$   
(относительно установки наблюдения)
- Глубина максимума воздушного потока определяется с использованием отношения светового потока на расстояниях 80 и 200 м от оси

- Экспериментальное распределение крутизны находится в пределах чувствительности Р к  $\Delta X_{\max}$  при заданных ограничениях по углу зенита и энергии.
- Преобразование от параметра Р к  $\Delta X_{\max}$  независимо от:
  - Энергии ( $10^{15} - 10^{18}$  эВ),
  - Угла зенита потока ( $0^\circ - 30^\circ$ ),
  - Модели взаимодействия первичной частицы.

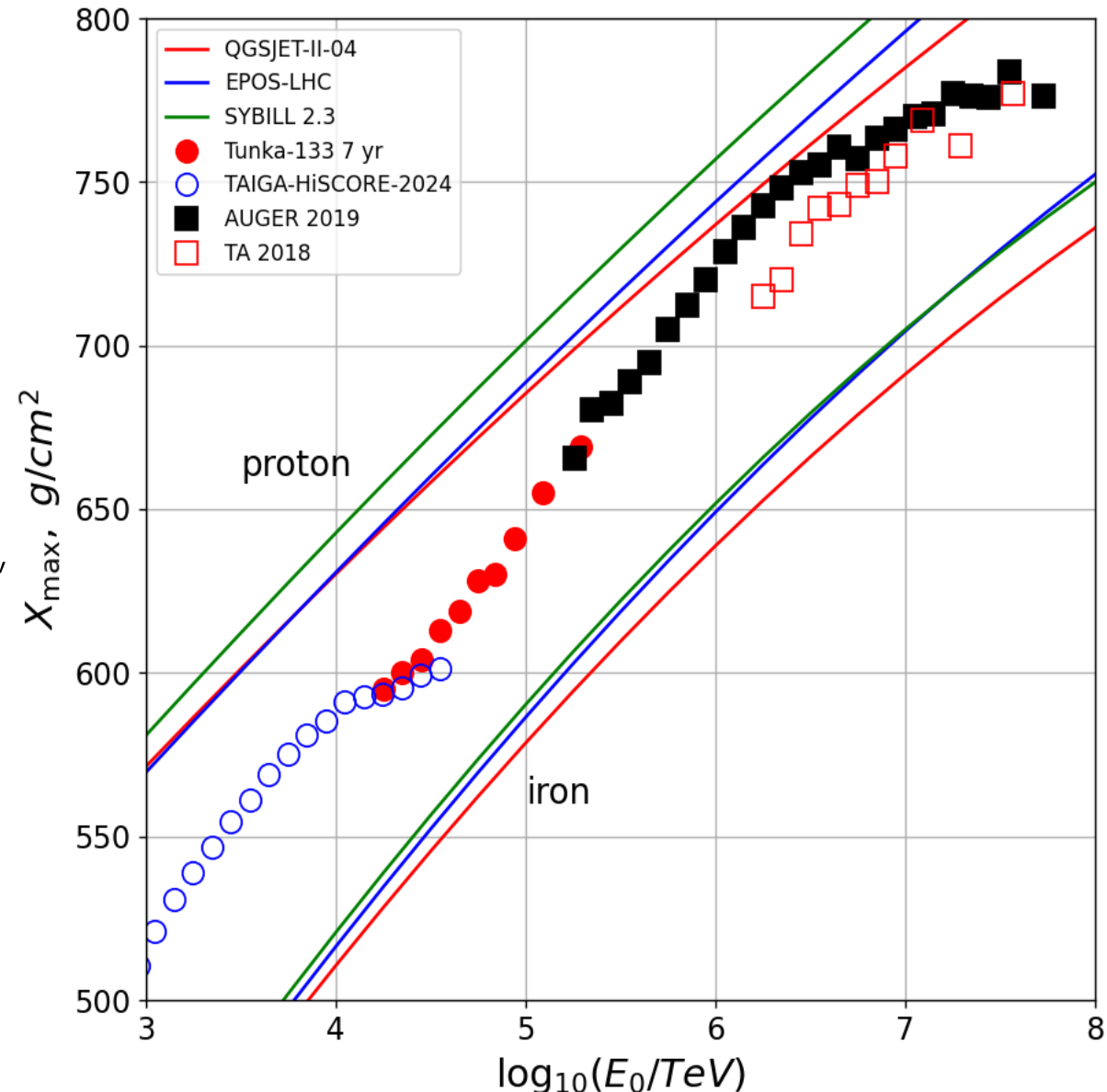
# Сходство каскадных кривых

- Важным моментом является тот факт, что формы каскадных кривых, определяющих плотность электронов в ливне в зависимости от атмосферной глубины, практически идентичны для различных типов первичных частиц.
- Моделирование в CORSIKA подтверждает этот факт.
- Следовательно, глубину максимума ливня можно рассматривать как основной параметр для оценки массового состава.



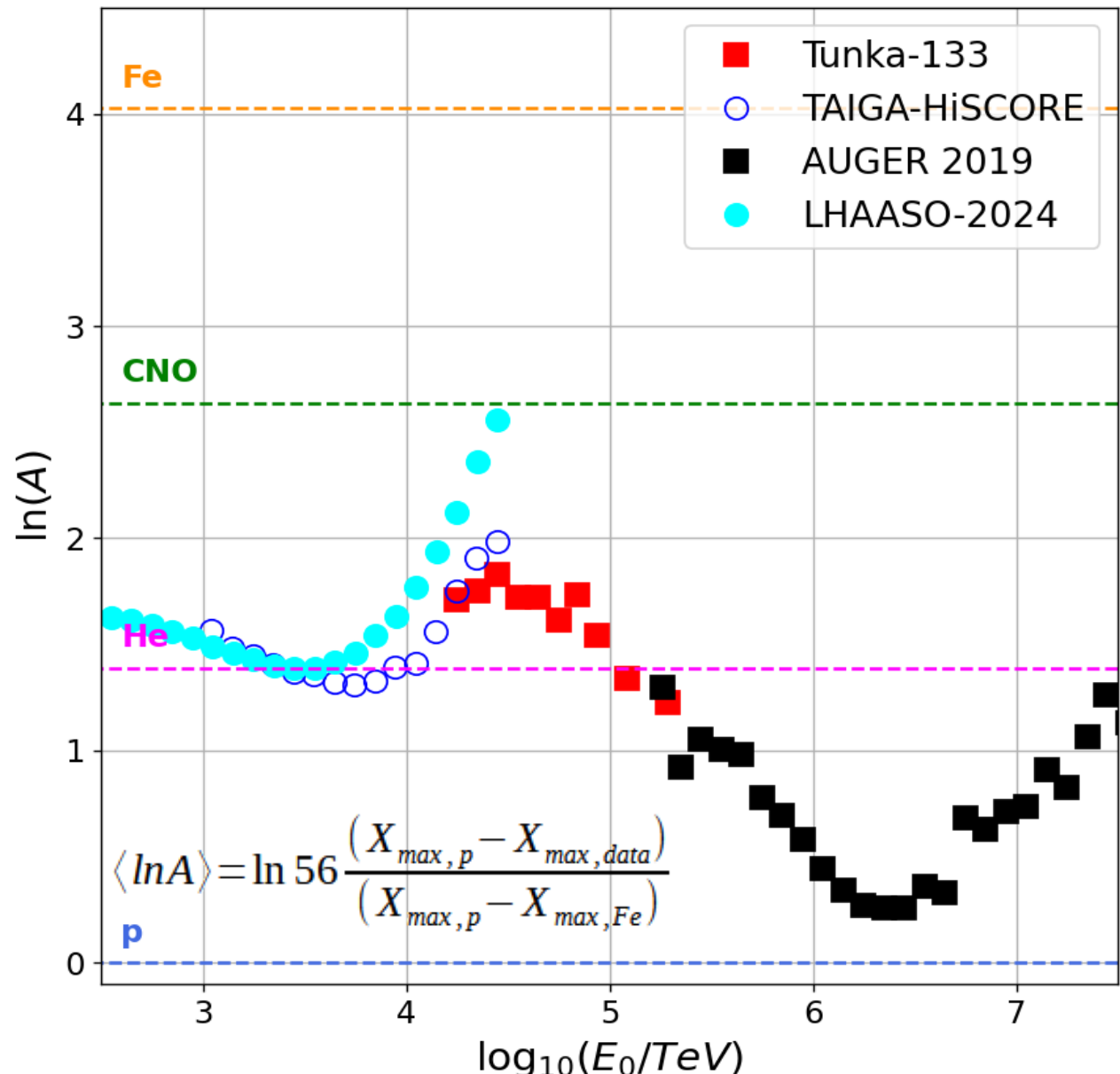
# Экспериментальная зависимость $X_{\max}$ от первичной энергии

- **Tunka-133:**
  - 7 лет наблюдений, 2010-2017,
  - Зенитные углы  $\theta \leq 30^\circ$ ,
  - Эффективная площадь  $0.64 \text{ км}^2$ ,
  - Первичные энергии ливней  $\geq 10^{16} \text{ эВ}$ ,
  - 69,000 событий.
- **TAIGA-HiSCORE:**
  - 70 ясных безлунных ночей (2023-2024),
  - 4 кластера (114 станций),
  - Зенитные углы  $\theta \leq 30^\circ$ ,
  - Эффективная площадь  $1 \text{ км}^2$ ,
  - Первичные энергии ливней  $\geq 10^{15} \text{ эВ}$ ,
  - 1,980,000 событий,
  - Инструментальные ограничения на энергиях выше  $3 \cdot 10^{16} \text{ эВ}$ .

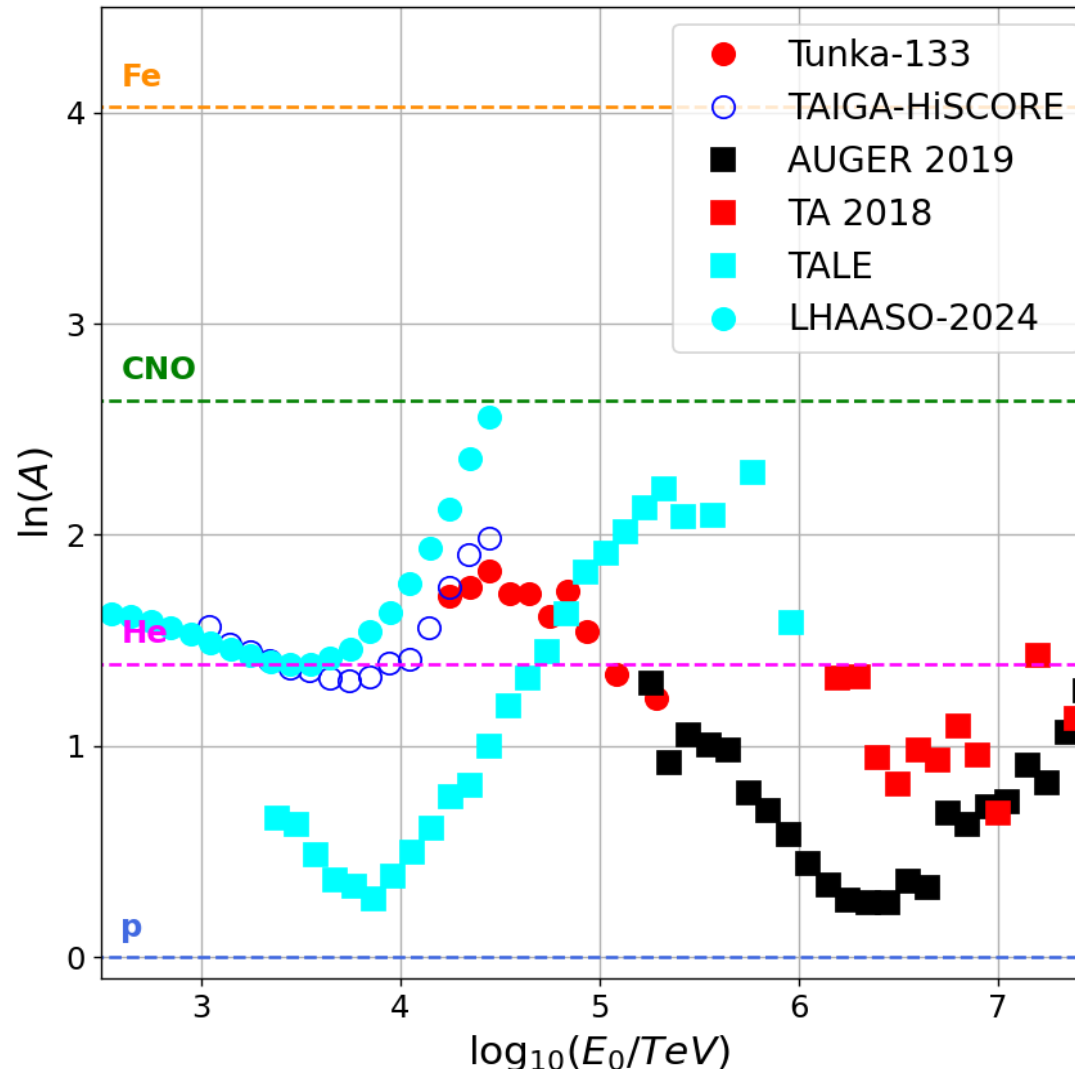


# Средний массовый состав $\langle \ln A \rangle$ от первичной энергии

- Существует прямая зависимость  $\langle \ln A \rangle \sim \langle X_{\max} \rangle$  (по линейной интерполяции).
- Для расчета  $\langle \ln A \rangle$  использовалась модель QGSJet-II-04. Во всем диапазоне энергий наблюдается несколько более легкий состав ( $p + He$ ).
- Поведение вблизи «колена» совпадает с результатами эксперимента LHAASO, несмотря на различие в методологии (Черенковское излучение/заряженные частицы).

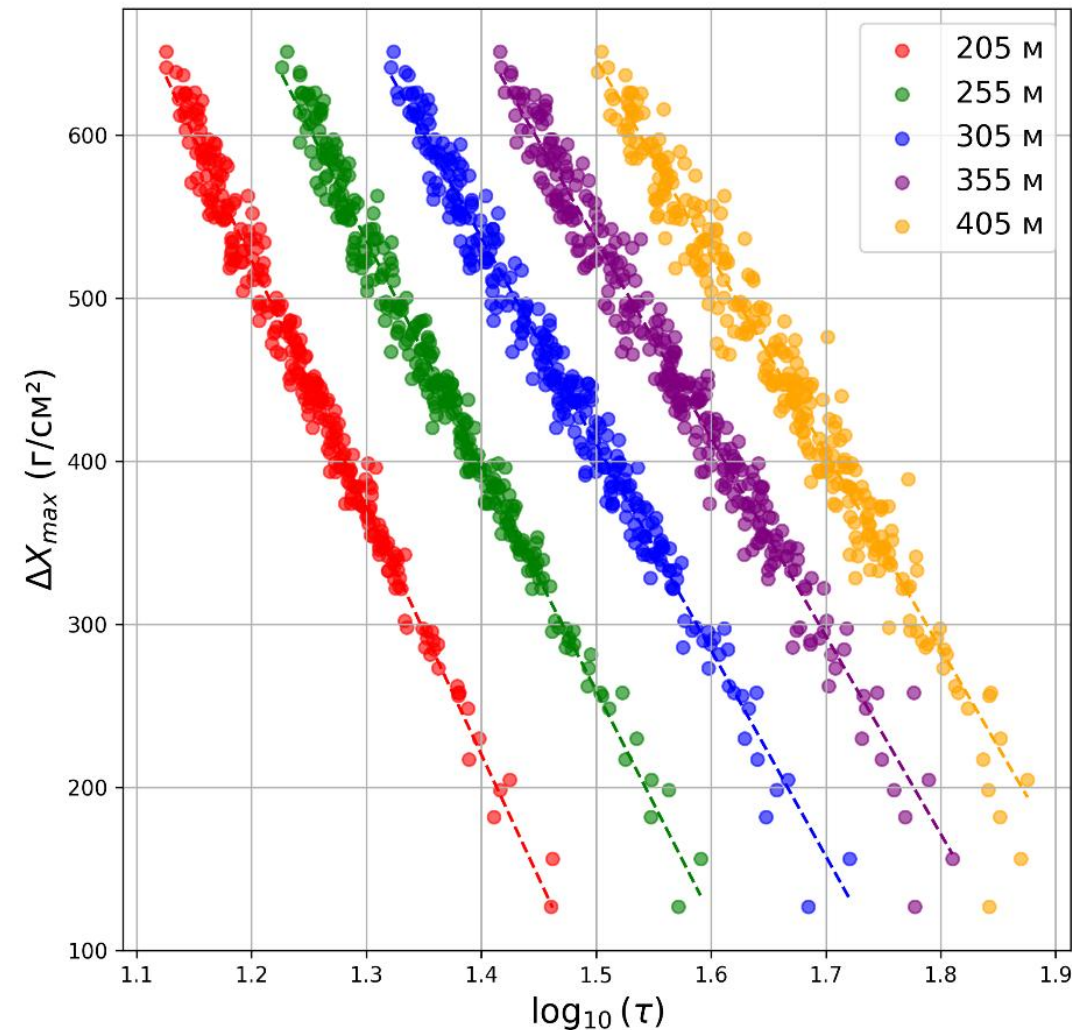


# Дополнительные данные $\langle \ln A \rangle$ с TA и TALE

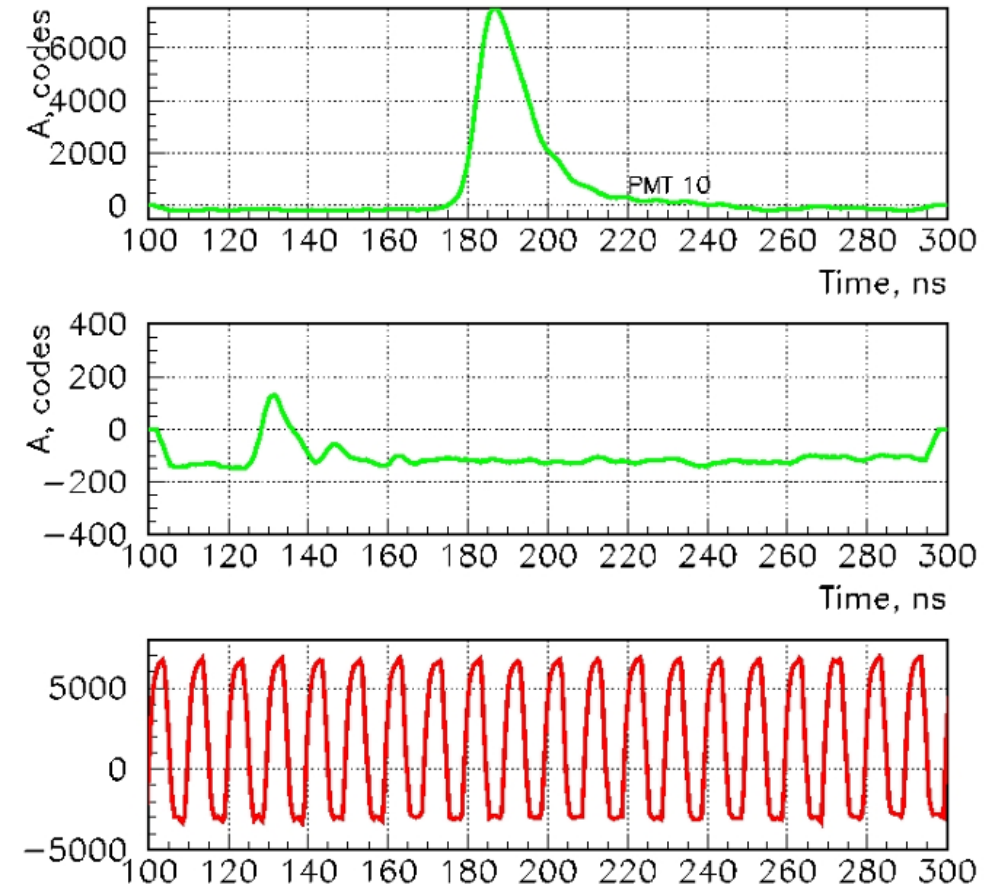
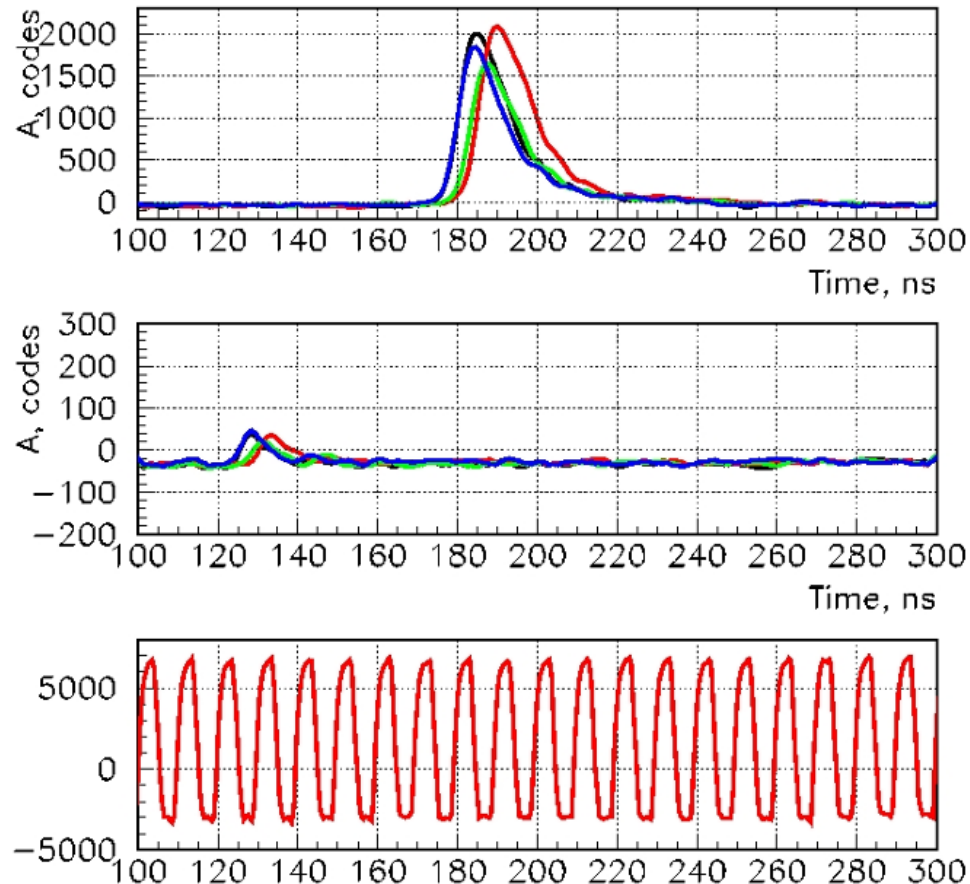


# Определение глубины максимума ливня

- **Анодный канал:**
  - 205 м:  $\Delta X_{max} = -1514.9 \cdot \log \tau + 2341.2$ ,  
 $\sigma = \pm 13.46 \text{ г/см}^2$ ,  $R^2 = 0.983$
  - 255 м:  $\Delta X_{max} = -1382.0 \cdot \log \tau + 2332.3$ ,  
 $\sigma = \pm 13.82 \text{ г/см}^2$ ,  $R^2 = 0.982$
  - 305 м:  $\Delta X_{max} = -1265.2 \cdot \log \tau + 2308.6$ ,  
 $\sigma = \pm 15.02 \text{ г/см}^2$ ,  $R^2 = 0.979$
  - 355 м:  $\Delta X_{max} = -1214.8 \cdot \log \tau + 2357.9$ ,  
 $\sigma = \pm 17.25 \text{ г/см}^2$ ,  $R^2 = 0.972$
  - 405 м:  $\Delta X_{max} = -1205.2 \cdot \log \tau + 2454.3$ ,  
 $\sigma = \pm 19.86 \text{ г/см}^2$ ,  $R^2 = 0.963$



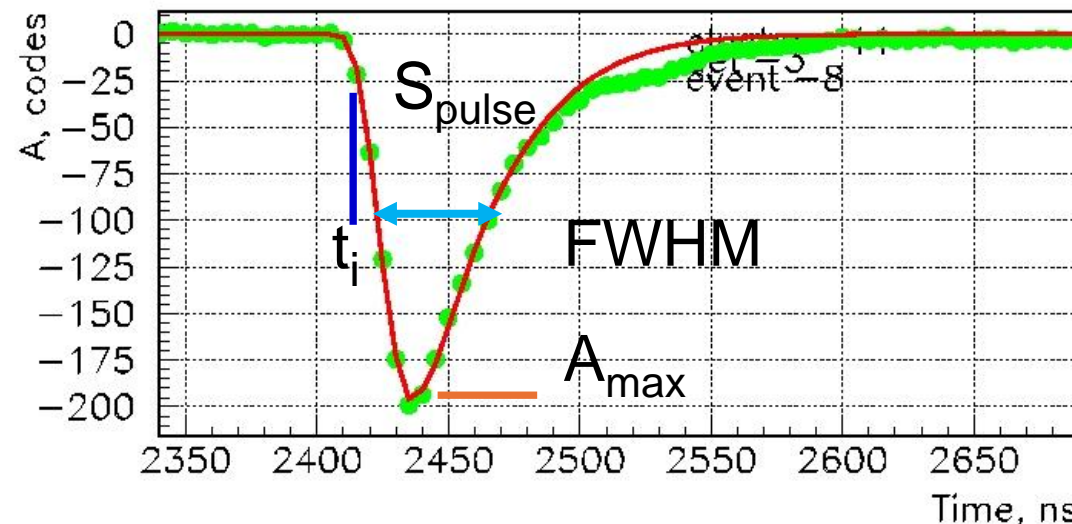
# Характеристика аппаратуры



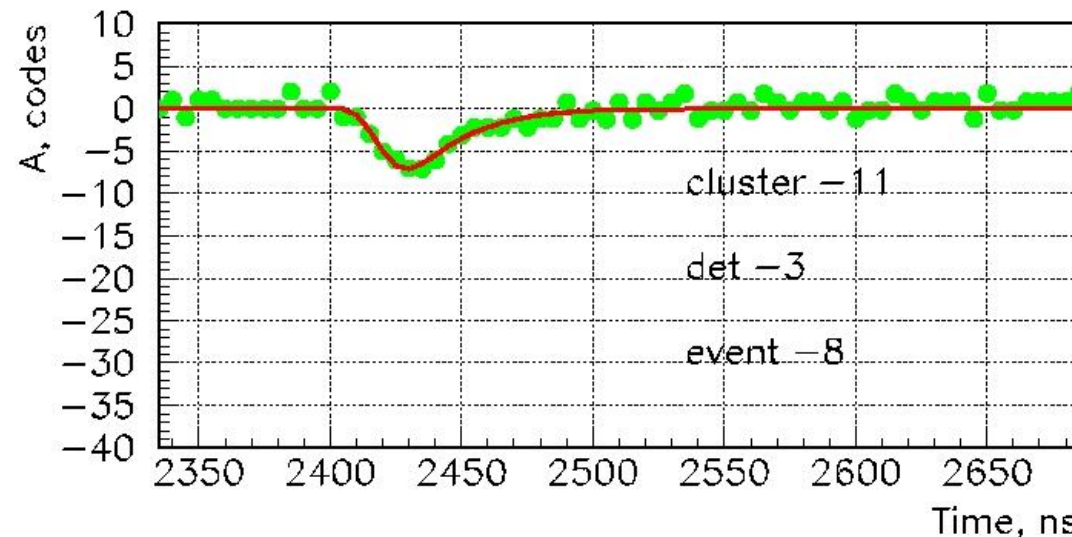
- Сигналы от четырёх ФЭУ на одной станции суммируются для получения результирующего импульса. Аппаратура (ФЭУ + предусилитель) искажает импульс.

# Пример записи импульса (при шаге 5 нс)

anode:

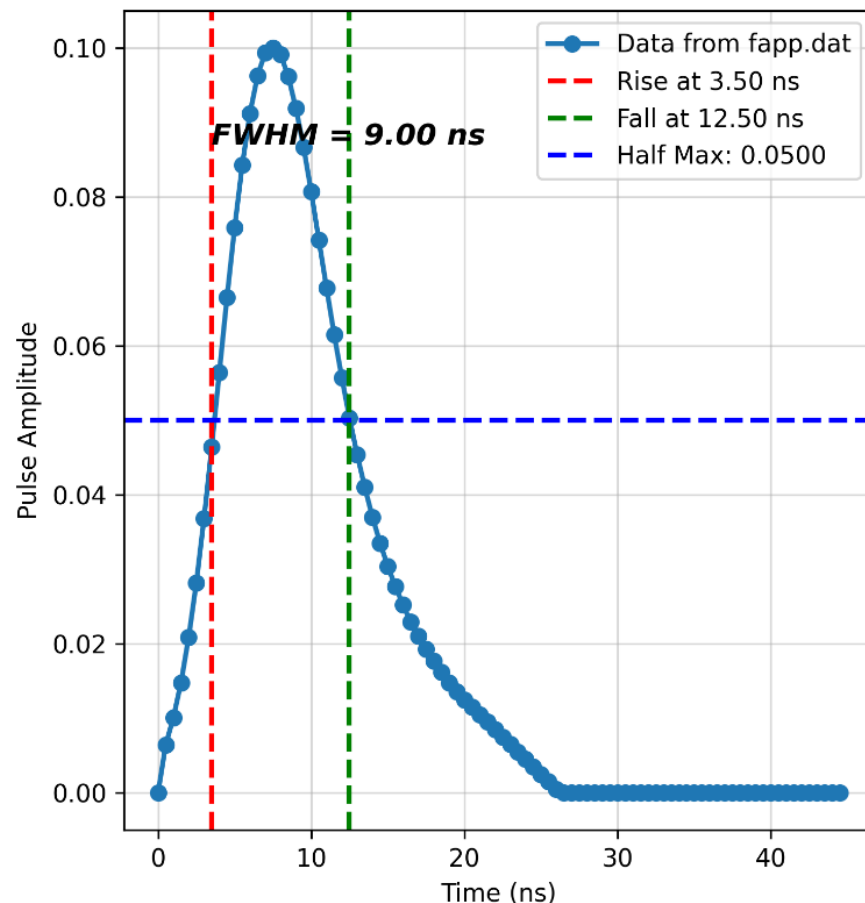


dynode:

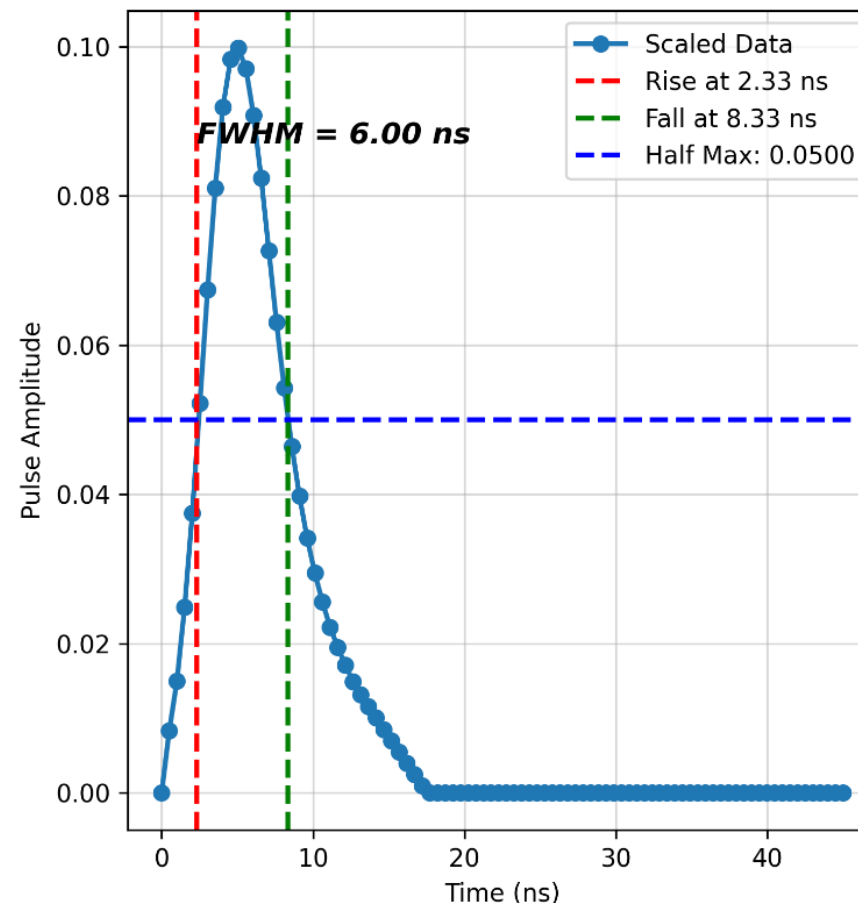


# Аппаратурная функция

anode:



dynode:



- Самый короткий импульс в одной из станций (здесь нормализованная форма).